

脆性材料の一軸圧縮試験における端面拘束の影響について

名古屋大学工学部	正員 成岡昌夫
名古屋大学工学部	正員 川本勝男
名古屋大学大学院	学生員・提田建夫
名古屋大学工学部	正員 秋本昌胤

1. 緒言

円柱状の脆性材料の一軸圧縮試験において荷重面を拘束するとは、圧縮強度や破壊形状にかなりの影響を及ぼすことが考えられる。この問題に対してペッセル函数を用いて弾性解析結果があり¹⁾、円柱供試体の応力、変形状態が木されてはいるが、破壊強度や破壊形状を検討するまで至っていない。また、この問題を解析的に解くことはかなり困難であるため、主として実験的・研究がおこなわれてきた。しかし、最近発展された有限要素法を用いてことにより、この問題において変位や荷重で境界条件を与えた場合や、非線形性状を考慮した場合に対しても比較的容易に取り扱うことができようになつた。ここでは円柱状セラミカル供試体を軸対称体とし、軸対称問題に対する有限要素法を用いて、4つの場合の境界条件について解き、それそれの変位、応力のほかにせん断ひずみエネルギーの分布を求めた。つぎに同じ境界条件で供試体の破壊荷重や破壊形状を知るために、弾塑性解析を行なつた。以上の計算より得られた結果を検討するため、実際にセラミカル供試体を作り、計算に用いた境界条件に近い状態で一軸圧縮試験をおこなつた。

2. 弾性領域における応力、変形およびエネルギー分布の状態

有限要素法による軸対称問題については、種々の文献に木されてはいるのでここでは触れないが、詳細は文献(2)を参照されたい。解析においては円柱の軸対称断面の各の部分を考えて、これを三角形要素に分割する。計算には要素数227、節点数141のように分割されたものを用い、つぎのようないつの場合の荷重条件、境界条件について考えた。(1)荷重面の水平方向変位を固定し、鉛直方向に単位変位を与えた。(2)荷重面の水平方向変位を自由にし、鉛直方向に単位変位を与えた。(3)荷重面の水平方向変位を固定し、鉛直方向に単位荷重を作用させた。(4)荷重面の水平方向変位を自由にし、鉛直方向に単位荷重を作用させた。実際の圧縮試験における境界条件は、荷重面がその面に作用する摩擦によつて水平方向にある程度拘束され、鉛直方向に等変位すらようだとえられてはから、通常おこなわれておる実験方法では、(1)の条件に近づく。しかし、真の一軸圧縮強度は(2)、(4)のような条件で求められるものである。通常の圧縮試験での圧縮強度の計算では、荷重面に等分布荷重が作用しておとしれておこなわれるが、(3)、(4)のような条件についても計算をおこなつた。計算結果によると、(2)、(4)の条件ではボアン比不分で一様に水平方向にふくれ出し、各要素の応力はすべて等しくなる。また、(1)、(3)の条件での応力値、石は荷重面周辺で集中するが、(3)の条件では荷重面が鉛直方向変位の拘束を受けておるため、あまり集中しない。図-1, 2にせん断ひずみエネルギーの分布を示す。(1)、(3)どちらの条件でも荷重面周辺と、内部の中心線上に最大値が生じ、荷重面周辺と、内部の中心線と結ぶ線上に大きな値となる。せん断ひずみエネルギー説により破壊が生じるとすると、

この場合の破壊形状はフサビ状となることが予想される。②、④のような条件では、応力バー一様であるから、せん断ひずみエネルギーの分布も供試体内で一様となる。これは破壊が全断面同時に生じること、すなわち、任意の軸対称断面、あるいはこれに平行な鉛直断面での分離破壊を生じることを意味している。

4. 弹塑性解析

弾性解析でもある程度の破壊形状が予想されますが、さらに破壊の性状、破壊強度を求めるため弾塑性解析を行なう。有限要素法による非線形解析には漸増法と反復法があるが、ここでは変位、また、荷重漸増法による解析を考える。降伏条件としては、グリフィス理論にもどづくモールの包絡線を用いる。解析過程を次に示す。1. 各要素のうちで一つだけが降伏条件を満たすよう荷重 $\{P\}$ 、変位 $\{R\}$ を求める。これは単位荷重、単位変位 $\{I\}$ によって得られた応力に任意の定数 C をかけ、一要素だけが降伏条件を満たすように C の値を反復計算により求め、 $\{P\}=C\{I\}$ 、 $\{R\}=C\{I\}$ として求められる。2. 降伏条件を満たす要素は、弾性係数と弾性の場合の $\%_{\text{f}}$ に比例し、ポアソン比を 0.25 とする。そして、またつづきの荷重、あるいは変位増分に対して1の過程をくり返す。この計算過程をくり返すことにより、順次各荷重、あるいは変位段階において塑性状態となる要素を求めていく。実際には、各荷重、あるいは変位の増分に対して要素だけが降伏させていては計算時間が多くなるので、ここでは任意の数の要素が降伏条件を満たすよう(荷重 $\{P\}$ 、あるいは変位 $\{R\}$)の増分を考えて計算を進める。3. 2の過程をくり返して、塑性の領域が供試体を横切って広がる状態にならまで計算を続ける。破壊荷重、あるいは変位は $\{P\}+\Sigma\{\Delta P\}$ 、 $\{R\}+\Sigma\{\Delta R\}$ として求められる。

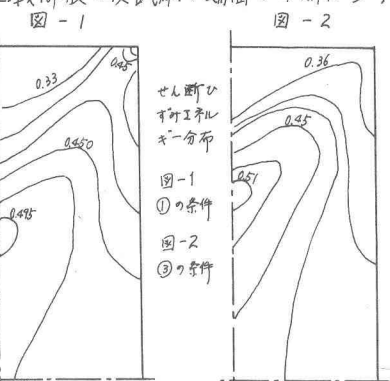
5. 実験

直径 10cm 、総 20cm のセルタル供試体を用いてつぎのようないくつかの実験を行なった。(1)供試体の上、下面に 2.5cm 厚の鋼製円板を接着し、圧縮試験を行なう。(2)載荷板と供試体の端面との間にシリコングリースを塗布してゴムストリーブをはさみ、圧縮試験を行なう。(3)通常の圧縮試験を行なう。それぞれの場合の一軸圧縮強度の平均は、(1)345.5 (2)276.0 (3)321.7 (単位 kg/cm^2)であり、破壊形状の代表的なものを写真に示す。

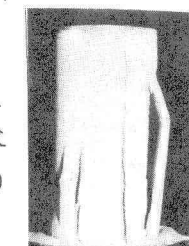
6. まとめ

実験によって見られる破壊形状は、せん断ひずみエネルギー分布の形状より予想されるものとよく一致する。したがって、荷重面の拘束状態により破壊形状や破壊荷重の相異について説明することができるが、破壊荷重については、弾塑性解析の結果から、材料の破壊条件との関係において求められると思われる。以下については当日発表する予定である。なお、計算には東大大型計算センターの HITAC 5020F を用いた。

参考文献 1)林二郎:耐圧試験の像に生じる鋼筋拘束体内部の応力分布及びその破壊挙動について



実験
(1)



実験
(2)